

РАСЧЕТ АНОМАЛЬНОГО ЭФФЕКТА ХОЛЛА ПРИ КОМНАТНОЙ ТЕМПЕРАТУРЕ В ТЕРМООБРАБОТАННОМ ОБРАЗЦЕ n -Ge

Ван Си-фу, Син Сюй, Цзян Вэй

С помощью модели инверсионного слоя рассматривается аномальный эффект Холла при комнатной температуре в термообработанном (при $T=670^\circ\text{C}$) образце n -Ge. Результаты расчета хорошо согласуются с экспериментальными данными.

Введение. Известно, что для описания аномального эффекта Холла при низкой или сверхнизкой температуре предложено несколько теоретических моделей [1-5]. Однако недавно были обнаружены серпиг аномальных электромагнитных свойств полупроводника при комнатной температуре [6-9].

В работе [10] обсуждалась аномальная температурная зависимость коэффициента Холла на образце InAs при постоянном напряжении и низкой температуре. Авторы [10] развили теорию инверсионного слоя и успешно объяснили указанные аномалии. После этого в работе [11] на образце p -InAs эта модель была подтверждена экспериментально.

В нашей работе, согласно модели инверсионного слоя [10], вычислен аномальный эффект Холла при комнатной температуре на термообработанном при 670°C образце n -Ge. Полученный результат соответствует экспериментальным данным [6].

В ы в о д ф о р м у л

Условия эксперимента, при которых наблюдался аномальный эффект Холла в образце n -Ge, следующие: сила тока I постоянна, разность потенциалов Холла V_H и разность потенциалов проводимости V_σ измеряются в разомкнутой цепи.

Как и авторы работы [10], будем для удобства считать, что образец и его внутренняя инвертированная область p -типа проводимости имеют вид прямоугольных параллелепипедов. Обозначим длины ребер образца a , b , l , а толщину поверхностного слоя n -типа проводимости d_s . Тогда длины ребер внутренней области p -типа проводимости будут соответственно равны $d_a = a - 2d_s$, $d_b = b - 2d_s$, $d_l = l - 2d_s$. На рис. 1, а показаны стереометрические фигуры слоя n -типа проводимости.

1. *Полный эффективный коэффициент Холла образца.* С учетом симметрии областей 11 и 12, 21 и 22, 31 и 32 (рис. 1, а) эквивалентная цепь полной эффективной холловской разности потенциалов V_H представлена на рис. 1, б.

Выражение для полного эффективного коэффициента Холла имеет вид

$$R = \frac{bV_H}{IB} = b \left\{ \left[\frac{2R_n \sigma_n d_l d_s}{ab - d_a d_b} \left(1 - \frac{J_s d_a d_b}{I} \right) + \frac{2R_n \sigma_n d_s}{a} + \frac{R_p \sigma_p J_s e d_l}{e J_s d_a + 2kT \sigma_p} \frac{J_s d_a d_b}{I} \right] \times \right. \\ \left. \times \frac{d_n (e J_s d_n + 2kT \sigma_p)}{\sigma_p J_s e d_a d_b d_l + 2\sigma_n (b + d_l) (e J_s d_a + 2kT \sigma_p) d_s} \right\} + \frac{2R_n b d_s}{ab - d_a d_b} \left(1 - \frac{J_s d_a d_s}{I} \right), \quad (1)$$

где R_n , R_p — коэффициенты Холла, σ_n , σ_p — электропроводности для электронов и дырок:

$$R_n = \frac{\mu_H}{\mu} \frac{p_n u_p^2 - n_n u_n^2}{e (p_n u_p + n_n u_n)^2}, \quad R_p = \frac{p_p u_p^2 - n_p u_n^2}{e (p_p u_p + n_p u_n)^2}, \quad (2)$$

$$\sigma_n = e (p_n u_p + n_n u_n), \quad \sigma_p = e (p_p u_p + n_p u_n),$$

а плотность обратного тока насыщения J_s для p - n -перехода

$$J_s = \sqrt{\frac{ekT}{c}} (\sqrt{u_n} n_p + \sqrt{u_p} p_n). \quad (3)$$

Концентрация электронов в p -области n_p , концентрация дырок в n -области p_n и концентрация собственных носителей тока n_i соответственно равны $n_p = n_i^2/n_n$, $p_n = n_i^2/p_p$, $n_i = 4.82 \cdot 10^{15} (m_p^* m_n^*/m_0^2)^{1/4} T^{3/4} e^{-E_g/4kT}$.

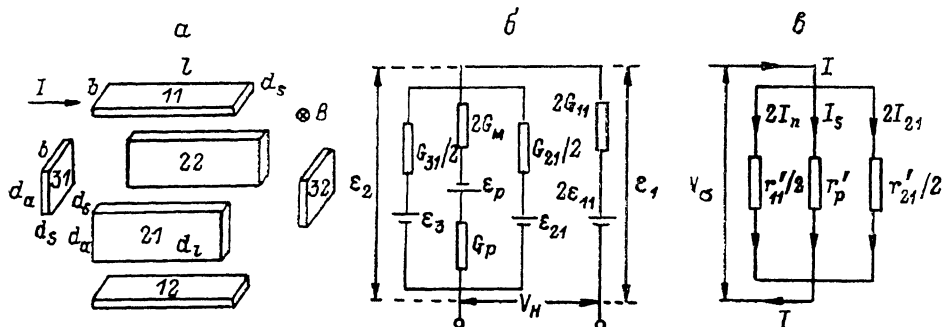


Рис. 1. Стереометрические фигуры области слоя n -типа проводимости (а), эквивалентные схемы полной эффективной холловской разности потенциалов V_H (б) и полной разности потенциалов V_G проводимости образца (в).

В области полной ионизации

$$n_n = N_D, \quad p_p = N_A. \quad (4)$$

В области перехода

$$n_n = \frac{N_D}{2} \left[1 + \left(1 + \frac{4n_i^2}{N_D^2} \right)^{1/2} \right], \quad p_p = \frac{N_A}{2} \left[1 + \left(1 + \frac{4n_i^2}{N_A^2} \right)^{1/2} \right]. \quad (4')$$

В области собственной проводимости

$$n_n = n_i, \quad p_p = n_i, \quad (4'')$$

где n_n , p_p — концентрации электронов и дырок в n - и p -областях соответственно, N_D — концентрация нескомпенсированных доноров в n -области, N_A — концентрация нескомпенсированных акцепторов в p -области, τ — время жизни носителей, μ_H — подвижность Холла, μ_n , μ_p — подвижности электронов и дырок соответственно.

2. Полная эффективная удельная электропроводность. Так как электроды, на которых измеряется проводимость, находятся между двумя p - n -переходами

Таблица 1

T, K	$R, \text{см}^2/\text{с}$	$\sigma, \text{Ом}^{-1} \cdot \text{см}^{-1}$
300	-7678	0.1647
305	-58.78	0.1703
310	1173	0.1743
325	2105	0.1732
340	1037	0.1761
345	394.9	0.1815
350	-315.7	0.1904

Таблица 2

I, mA	T, K	Расчетные значения	Экспериментальные значения
1.09	T_1	306	301
	T_2	348	346
	ΔT	305 ÷ 345	300 ÷ 342
8.28	T_1	316	313
	T_2	348	348

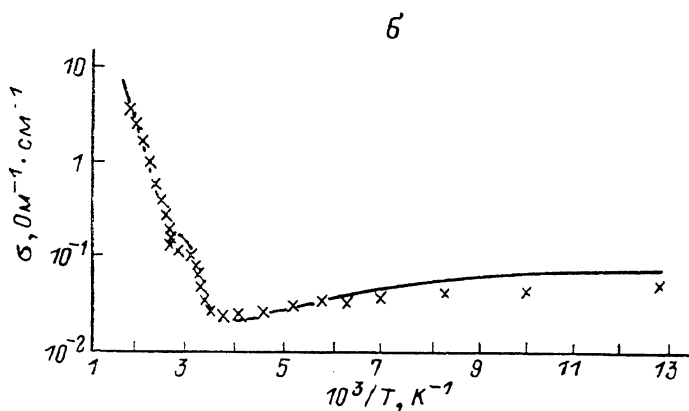
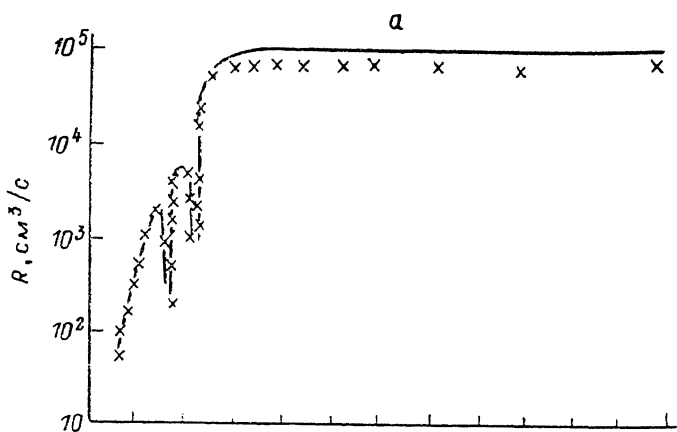


Рис. 2. Зависимости коэффициента Холла (а) и проводимости (б) от температуры.

Сплошные линии — расчет, точки — эксперимент. $I=1.09$ мА, $V=1.00$ кГц.

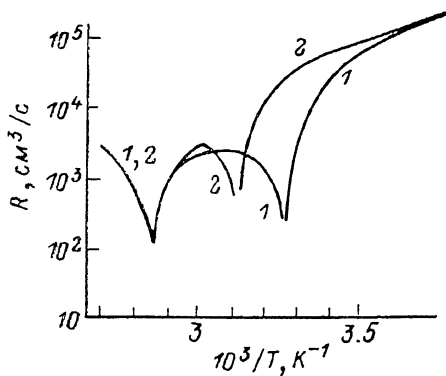


Рис. 3. Расчетные кривые $\lg R \sim 1/T$ для разных значений тока.

I , мА: 1 — 1.09, 2 — 8.28.

по направлению I , эквивалентная цепь полной разности потенциалов V , проводимости образца имеет вид, приведенный на рис. 1, в. Отсюда получаем выражение для полной эффективной удельной электропроводности

$$\sigma = \frac{l_V I}{V_{\sigma} ab} = \frac{\sigma_n (ab - d_a d_b)}{ab (l - I_s) d_a d_b}. \quad (5)$$

Подставляя соответствующие величины (2)–(4) в выражения (1) и (5), получим температурные зависимости R и σ .

Результаты расчета

Область численных значений параметров N_D , N_A , d_s , τ оценивалась по температурной зависимости подвижности носителей тока, причем подвижность за счет рассеяния на колебаниях решетки учитывалась в виде $\mu_n = 4.90 \times 10^7 T^{-1.06}$, $\mu_p = 1.05 \cdot 10^9 T^{-2.33}$ см²/В·с. Оптимальные значения параметров определялись с помощью ЭВМ путем подгонки расчетных зависимостей $\lg R$ и $\lg \sigma$ от обратной температуры к экспериментальным данным при $I = 1.09$ мА и $B = 1.00$ кГц (рис. 2). Были получены следующие значения: $d_s = 0.02$ см, $\tau = 0.10$ мкс, $N_D = 1.7 \cdot 10^{14}$ и $N_A = 7.5 \cdot 10^{14}$ см⁻³.

Результаты расчетов R и σ в области температур, где происходит изменение знака коэффициента Холла, приведены в табл. 1. В табл. 2 приведены расчетные и экспериментальные значения точек инверсии и температурного интервала, в котором $R > 0$, для $I = 1.09$ и 8.28 мА, $B = 1.00$ кГц. На рис. 3 для этих же значений токов и магнитного поля показаны расчетные зависимости коэффициента Холла от температуры. Как следует из рис. 2 и табл. 2, расчетные значения хорошо согласуются с экспериментальными.

Список литературы

- [1] Городилов Н. А., Демчук К. М., Миньков Г. М., Нейфельд Э. А. // ФТП. 1987. Т. 21. В. 5. С. 798–803.
- [2] Брандт Н. Б., Дмитриев В. В., Ладугин Е. А., Скипетров Е. П. // ФТП. 1987. Т. 21. В. 3. С. 514–520.
- [3] Benzaquen M., Walsh D., Mazuruk K. // Sol. St. Commun. 1987. V. 71. N 12. P. 803–805.
- [4] Ведяев А. В., Граневский А. Б. // ФТТ. 1986. Т. 28. В. 8. С. 2310–2313.
- [5] Coleman P., Anderson P. W., Ramakrishnan T. V. // Phys. Rev. Lett. 1985. V. 55. N 4. P. 414–417.
- [6] Xing Xu // Kexue Tongbao (Sci. Bull. Beijing, China). 1986. V. 31. N 19. P. 1313–1315.
- [7] Xing Xu // Kexue Tongbao (Sci. Bull. Beijing, China). 1987. V. 32. N 11. P. 737–739.
- [8] Xing Xu., Yang Chun-Fang // Kexue Tongbao (Beijing, China). 1987. V. 32. N 24. P. 1857–1860.
- [9] Бойков Ю. А., Кутасов В. А. // ФТТ. 1986. Т. 28. В. 1. С. 297–300.
- [10] Воронков В. В., Соловьева Е. В., Иглицын М. И., Пивоваров М. Н. // ФТП. 1968. Т. 2. В. 12. С. 1800–1808.
- [11] Гусев О. К., Кирсенко В. П., Ломтев А. А., Яржембицкий В. Б. // ФТП. 1983. Т. 17. В. 6. С. 1153–1155.

Северо-Восточный педагогический университет

Чанчунь, КНР

Ляо'янский нефтехимический технический институт

Ляо'ян, КНР

Получена 16.03.1989

Принята к печати 4.10.1989